

Heart rate variability in electronic cigarette users a randomized placebo-controlled crossover trial

Clothilde Claus

Promoteurs : Van de Borne Philippe (MD, PhD)

Co-promoteurs : Morra Sofia (MD) & Chaumont Martin (MD,PhD)

Variabilité de la fréquence cardiaque chez les utilisateurs de cigarette électronique

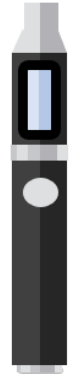
Un Essai croisé randomisé contrôlé par placebo

Clothilde Claus

Promoteurs : Van de Borne Philippe (MD, PhD)

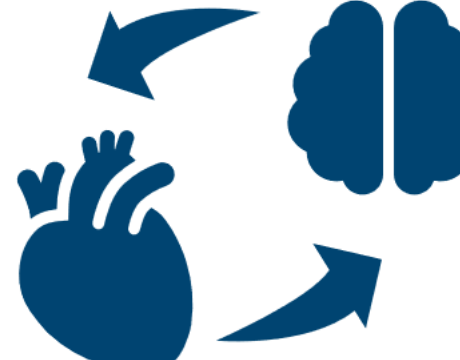
Co-promoteurs : Morra Sofia (MD) & Chaumont Martin (MD,PhD)

Variabilité de la fréquence cardiaque chez les utilisateurs de cigarette électronique



E-CIG?

HRV?



RÉSULTATS



CONCLUSION

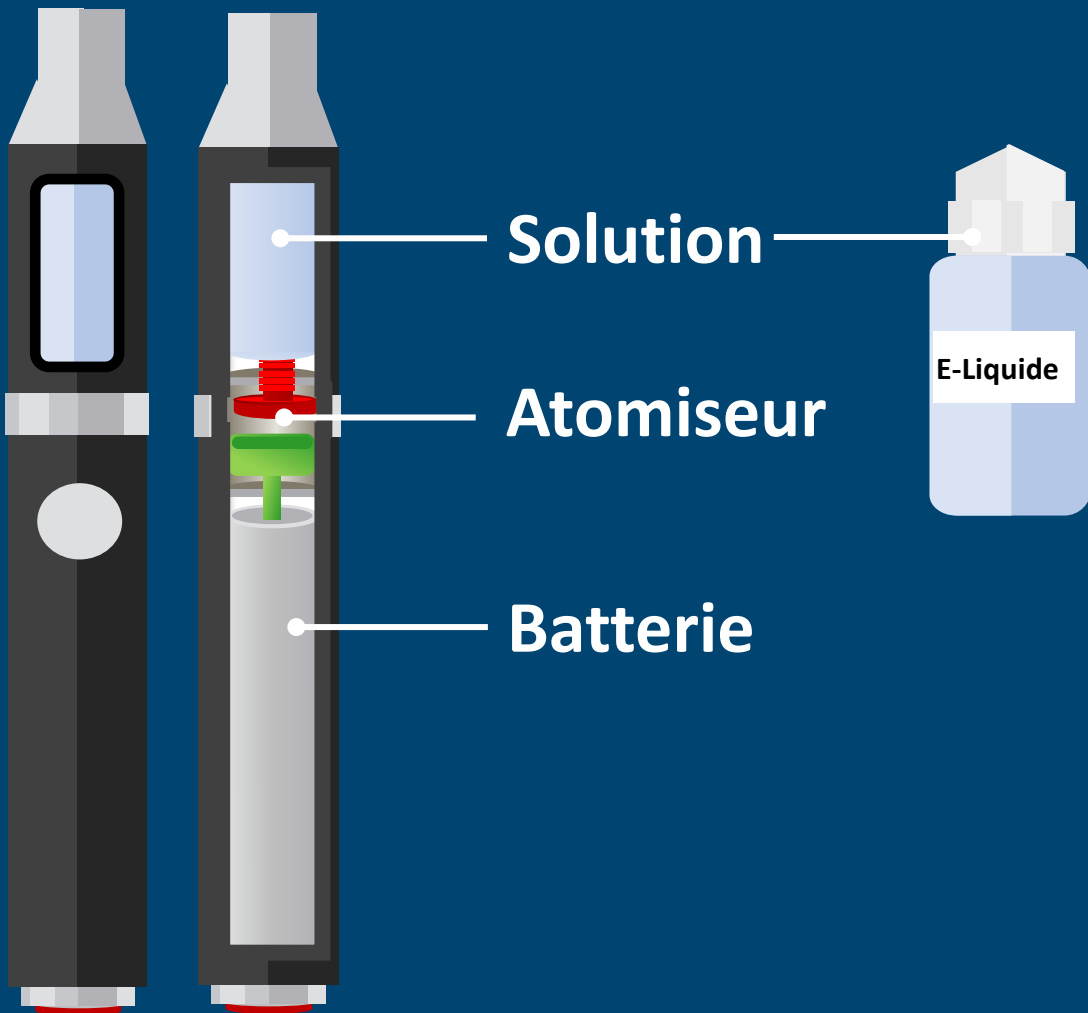


2003

2004

2006







Arômes

> 7000 variétés sur le marché



Nicotine

Concentration Variable

Solvant

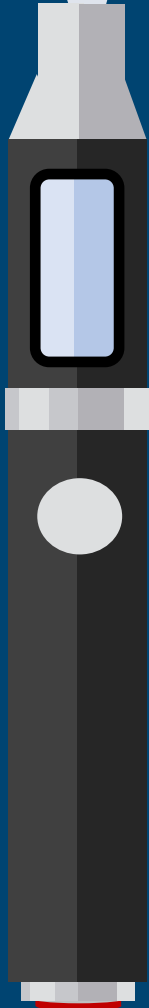
Propylène glycol (PG)



Glycérol (G)



Generally Recognized As Safe" compounds



Arômes

> 7000 variétés sur le marché



Nicotine

Concentration Variable

Solvant

Propylène glycol (PG)



Glycérol (G)



Generally Recognized As Safe" compounds

?

?

?



Arômes

Diacétyl
Benzaldéhyde
Cinnamaldéhyde
Acétoine,...

Nicotine

Nicotine

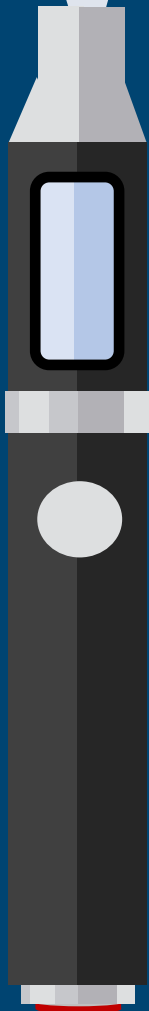
Solvant

Formaldéhyde
Propionaldéhyde
Acétaldéhyde
Acroléine,...

Propylène glycol (PG)

Glycérol (G)

+ Autres toxiques



Arômes

Nicotine

Delivery solvent

Propylène glycol (PG)

Glycérol (G)

Effets délétères connus Contexte ≠ E-cig

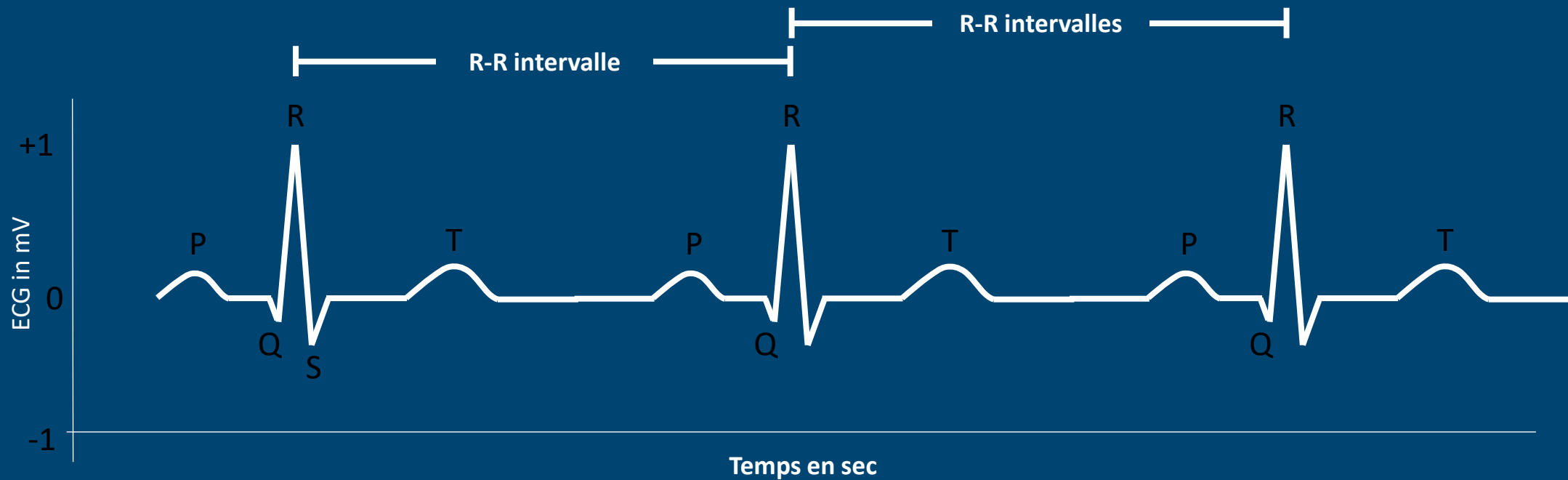




Effets délétères connus
Contexte ≠ E-cig

**Effets courts et
longs termes
limités** ?

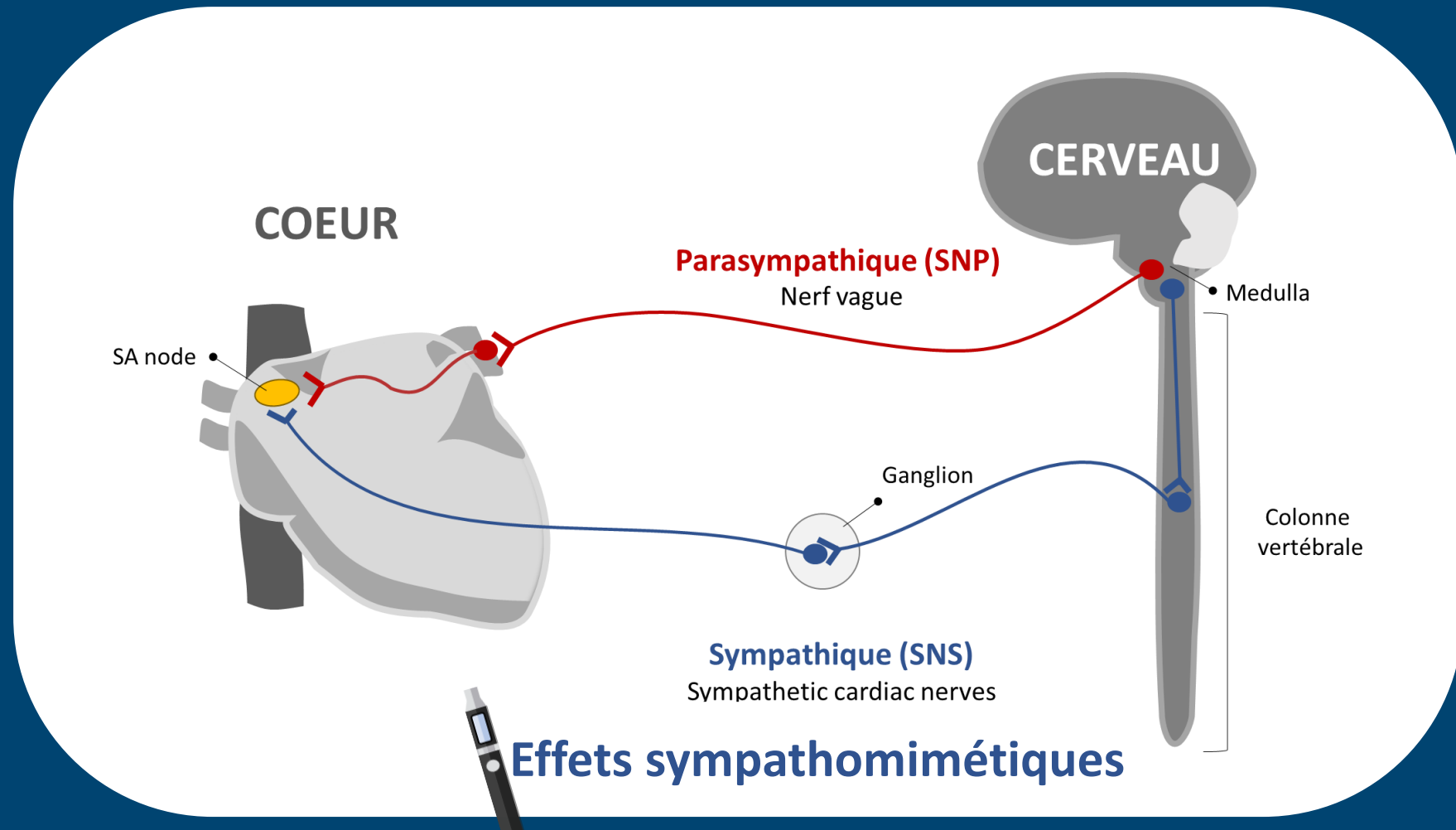
HRV = Variabilité de la fréquence cardiaque



=Variation des intervalles de temps entre 2 battements

HRV

= Variabilité de
la fréquence cardiaque





Effets sympathomimétiques



Impact Vapotage aigue / réversible

Am J Physiol Lung Cell Mol Physiol 318: L331–L344, 2020.
First published November 13, 2019; doi:10.1152/ajplung.00268.2019.

RESEARCH ARTICLE | Electronic Cigarettes: Not All Good News?

Short halt in vaping modifies cardiorespiratory parameters and urine metabolome: a randomized trial

Martin Chaumont,^{1,2*} Vanessa Tagliatti,^{2*} El Mehdi Channan,^{1,2} Jean-Marie Colet,³ Alfred Bernard,⁴ Sofia Morra,^{1,2} Guillaume Deprez,⁵ Alain Van Muylen,⁶ Nadia Debbas,⁷ Thomas Schaefer,⁸ Vitalie Faoro,⁹ and Philippe van de Borne^{1,2}

¹Department of Cardiology, Erasme University Hospital, Université Libre de Bruxelles, Brussels, Belgium; ²Institute for Translational Research in Cardiovascular and Respiratory Sciences, Université Libre de Bruxelles, Brussels, Belgium;

³Department of Human Biology and Toxicology, University of Mons, Mons, Belgium; ⁴Laboratory of Toxicology and Applied Pharmacology, Institute of Experimental and Clinical Research, Université Catholique de Louvain, Brussels, Belgium;

⁵Department of Clinical Chemistry, Université Libre de Bruxelles, Brussels, Belgium; ⁶Chest Department, Erasme University Hospital, Université Libre de Bruxelles, Brussels, Belgium; ⁷Department of Cardiology, Centre Hospitalier Universitaire Saint-Pierre, Université Libre de Bruxelles, Brussels, Belgium; and ⁸Cardio-Pulmonary Exercise Laboratory, Université Libre de Bruxelles, Brussels, Belgium

Submitted 5 July 2019; accepted in final form 5 November 2019

Chaumont M, Tagliatti V, Channan EM, Colet JM, Bernard A, Morra S, Deprez G, Van Muylen A, Debbas N, Schaefer T, Faoro V, van de Borne P. Short halt in vaping modifies cardiorespiratory parameters and urine metabolome: a randomized trial. *Am J Physiol Lung Cell Mol Physiol* 318: L331–L344, 2020. First published November 13, 2019; doi:10.1152/ajplung.00268.2019.—Propylene glycol and glycerol are e-cigarette constituents that facilitate liquid vaporization and nicotine transport. As these small hydrophilic molecules quickly cross the lung epithelium, we hypothesized that short-term cessation of vaping in regular users would completely clear aerosol deposit from the lungs and reverse vaping-induced cardiorespiratory toxicity. We aimed to assess the acute effects of vaping and their reversibility on biological/clinical cardiorespiratory parameters (heart rate, arterial oxygen saturation, pulmonary function test and diffusing capacities, transcutaneous gas tensions (primary outcome), and skin microcirculatory blood flow). Regular e-cigarette users were enrolled in this randomized, investigator-blinded, three-period crossover study. The periods consisted of nicotine-vaping (nicotine-session), nicotine-free vaping (nicotine-free-session), and complete cessation of vaping (stop-session), all maintained for 5 days before the session began. Multiparametric metabolic analyses were used to verify subjects' protocol compliance. Biological/clinical cardiovascular parameters were assessed at baseline (before each session) and after acute vaping exposure. Compared with the nicotine- and nicotine-free-sessions, a specific metabolomic signature characterized the stop-session. Baseline serum club cell protein-16 was higher during the stop-session than the other sessions ($P < 0.01$), and heart rate was higher in the nicotine-session ($P < 0.01$). Compared with acute sham-vaping in the stop-session, acute nicotine-vaping (nicotine-session) and acute nicotine-free vaping (nicotine-free-session) slightly decreased skin oxygen tension ($P < 0.05$). In regular e-cigarette-users, short-term vaping cessation seemed to shift baseline urine metabolome and increased serum club cell protein-16 concentration, suggesting a decrease in lung inflammation. Additionally, acute vaping with and without nicotine decreased slightly transcutaneous oxygen tension, likely as a result of lung gas exchanges disturbances.

Keywords: electronic nicotine delivery systems; metabolomics; nicotine; pneumoproteins; transcutaneous oxygen tension

INTRODUCTION

Propylene glycol and glycerol, the main constituents of electronic-cigarette (e-cigarette) liquid (e-liquid), produce an aerosol when heated that carries flavoring and nicotine. High-wattage vaping, which enhances heat and aerosol production, is the modality of choice for regular users (vapers) (10–12, 57). High-wattage vaping, with and without nicotine, has been shown to induce transcutaneous hypoxia, constriction of the airways, and lung inflammation in healthy native vapers (10, 12). The latter was marked by a rise in serum club cell secretory protein-16 (CC16) without a change in surfactant protein-D (10–12). Acute nicotine-free-vaping decreased partial pressure of arterial oxygen (O_2) and the oxyhemoglobin fraction in heavy tobacco smokers (naïve vapers), suggesting lung gas exchange disturbances (12).

Propylene glycol and glycerol are small hydrophilic molecules that swiftly cross the lung epithelium (19, 21, 42). When vaped in large amounts, however, this aerosol can transiently accumulate deep in the lungs (42) and interact with the epithelium (50). This hygroscopic and hyperosmolar deposit could theoretically disrupt the rheological properties of surfactant and mucus (21, 23, 31, 49, 50, 52), resulting in bronchiolar and alveolar collapse and therefore impairments to lung gas exchange (40). This possibility is supported by *in vitro* and animal studies (26, 42, 43, 58, 59), but it is not known if it also occurs in humans (44). We hypothesized that short-term cessation of vaping in regular heavy e-cigarette-users would completely clear aerosol deposit from the lungs, with subsequent recovery of gas exchange and restoration of biological/clinical cardiorespiratory parameters. We also explored whether e-cigarette cessation for 5 days could shift serum and urine

* M. Chaumont and V. Tagliatti contributed equally to the work.
Address reprint requests and other correspondence: M. Chaumont, Dept. of Cardiology, Erasme University Hospital, Université Libre de Bruxelles, 808 Route de Lennik 1070, Brussels, Belgium (e-mail: martin.chaumont@ulb.ac.be).



Effets sympathomimétiques



Impact Vapotage aigue / réversible



Vapoteurs Réguliers

- ≥ 1 an E-cig
- Bonne santé
- ~~Traitements médicamenteux~~
- ~~Drogue récréative~~



Effets sympathomimétiques

+

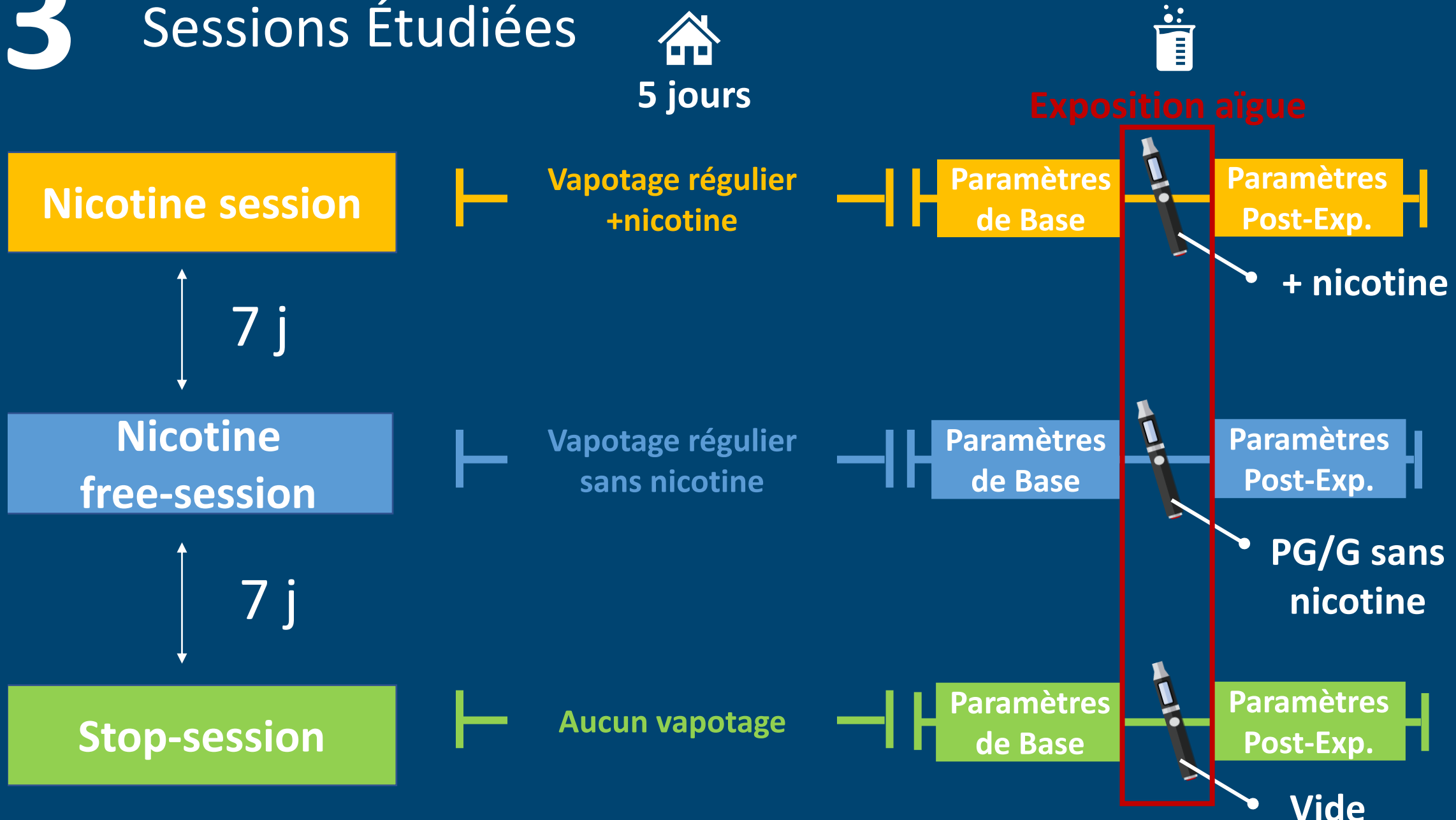
Impact Vapotage aigue / réversible



Vapoteurs Réguliers

3 Sessions Étudiées

3 Sessions Étudiées



HRV analyses

Nicotine session

Nicotine
free-session

Stop-session

Paramètres de Base

Exposition aiguë

Paramètres Post-Exp.

+5min

+30min

+50min

5min

5min

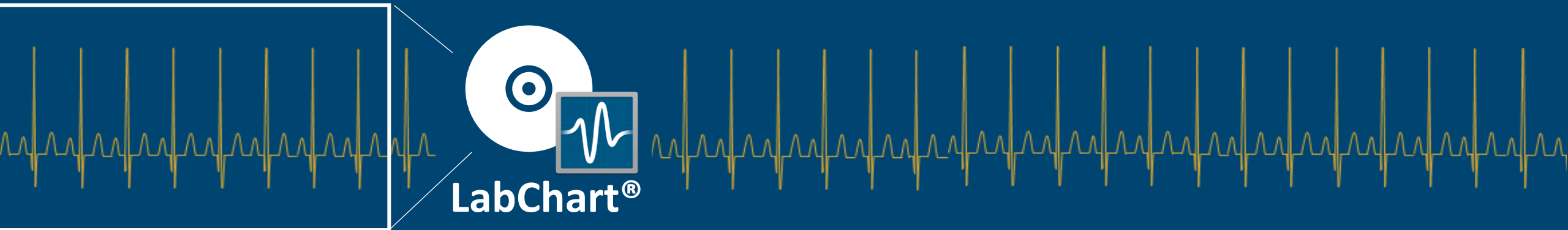
5min

5min

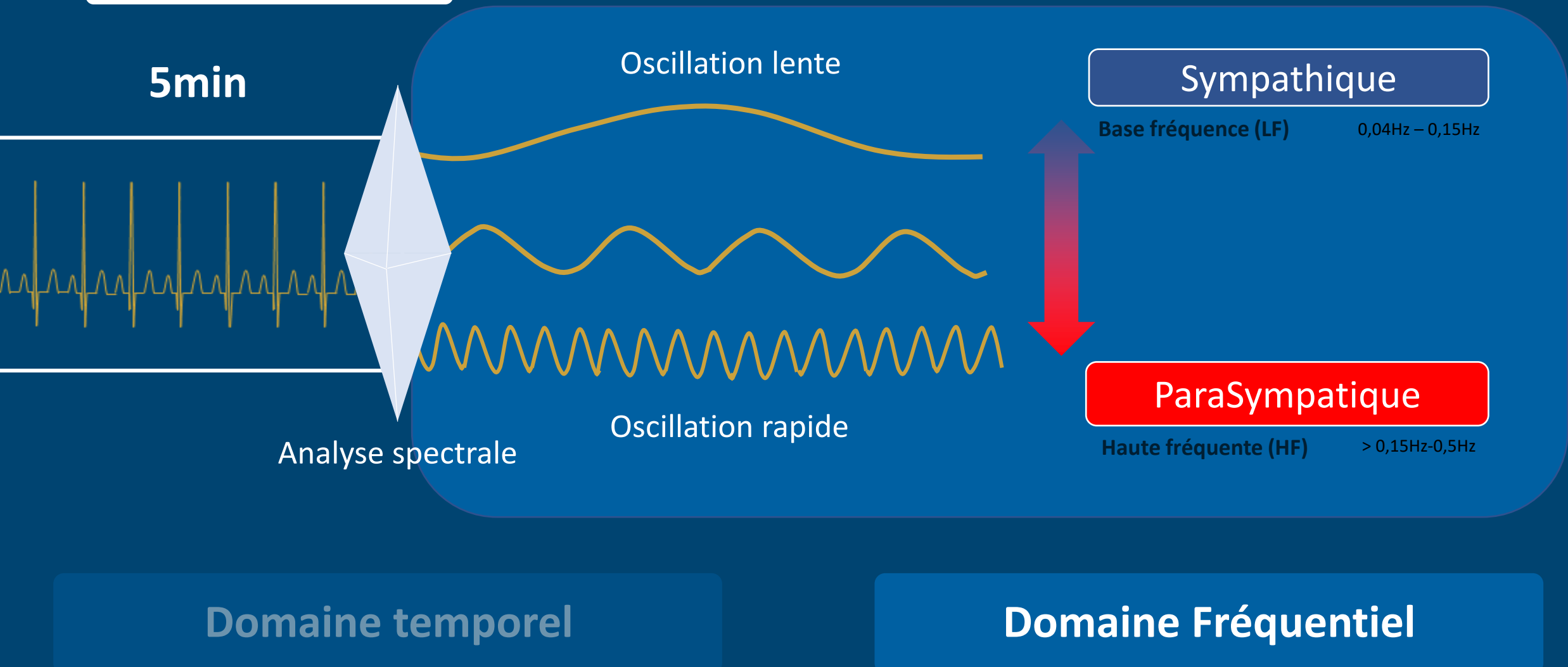


HRV analyses

5min



HRV analyses



OBJECTIFS

- Effets **ARRÊT COURT** vapotage avec/sans nicotine sur HRV chez utilisateurs réguliers de e-cig

- Effets **utilisation aïgue du** vapotage avec/sans nicotine sur HRV chez utilisateurs réguliers de e-cig.

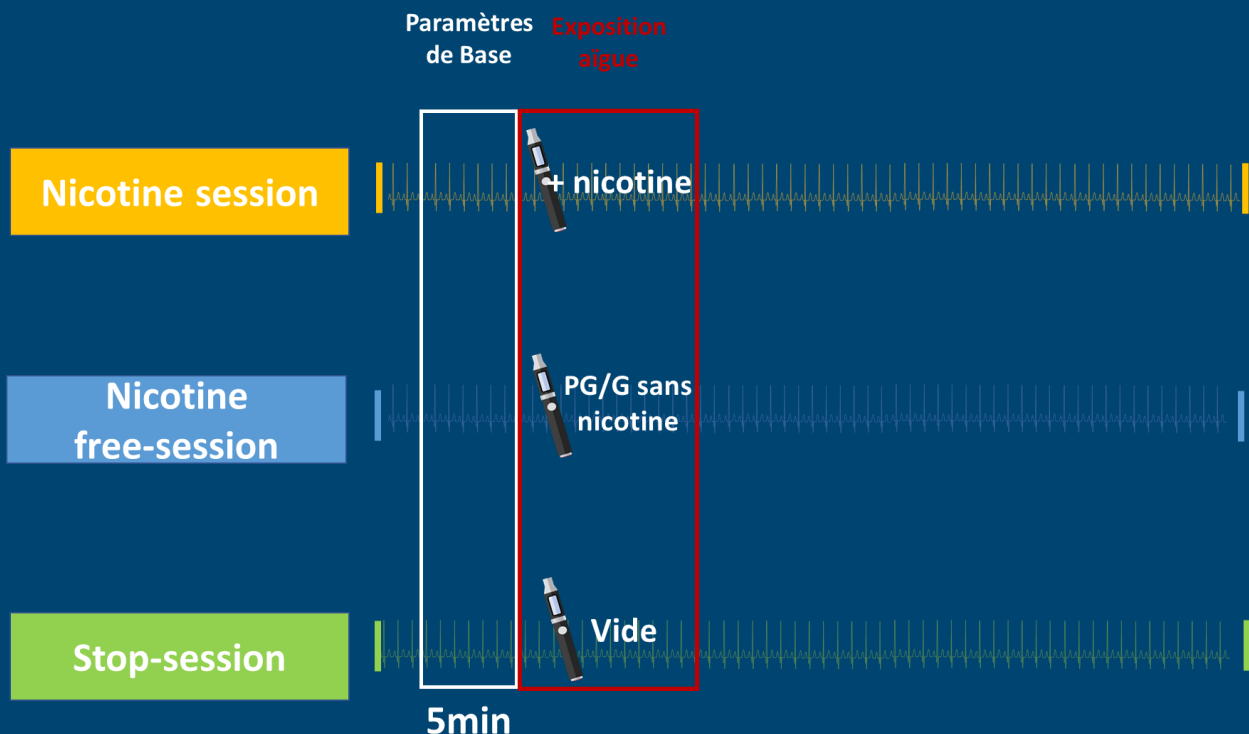
Résultats

Méthode: domaine fréquentiel

- Étude des Baselines
- Étude des Baselines vs paramètres post-exposition
- Étude HRV/session

Résultats

- Étude des Baselines



Méthode: domaine fréquentiel

Table 1 –Comparison of HRV baseline parameters between sessions

HRV parameters	Nicotine session ^A	Nicotine-free session ^B	Stop session ^C	p ^{AvsB}	p ^{AvsC}	p ^{BvsC}
HR (bpm)	67.3 ± 1.7	64.2 ± 1.8	64.1 ± 1.6	0.053	0.004	0.32
Total Power (ms ²)	6800 [4929-18953]	8617 [5487-15675]	5533 [3468-14720]	0.07	0.09	0.92
LF Power (nu)	51.7 ± 4.3	52.7 ± 4.3	58.0 ± 4.4	0.81	0.23	0.37
HF Power (nu)	44.7 ± 3.6	44.6 ± 3.8	40.2 ± 4.0	0.91	0.34	0.34
LF/HF (nu)	1.1 [0.8-2.2]	0.9 [0.6-2.9]	1.4 [0.9-3.1]	0.82	0.46	0.34

HRV, heart rate variability; HR, heart rate; LF, low frequency; HF, high frequency; LF/HF ratio. Data are presented as mean ± SD or median [P25-P75] according to data distribution.

Arrêt à court terme
→ Pas d'impact sur la HRV
→ Impact sur la fréquence cardiaque (HR)

Résultats

Méthode: domaine fréquentiel

- Étude des Baselines vs paramètres post-exposition

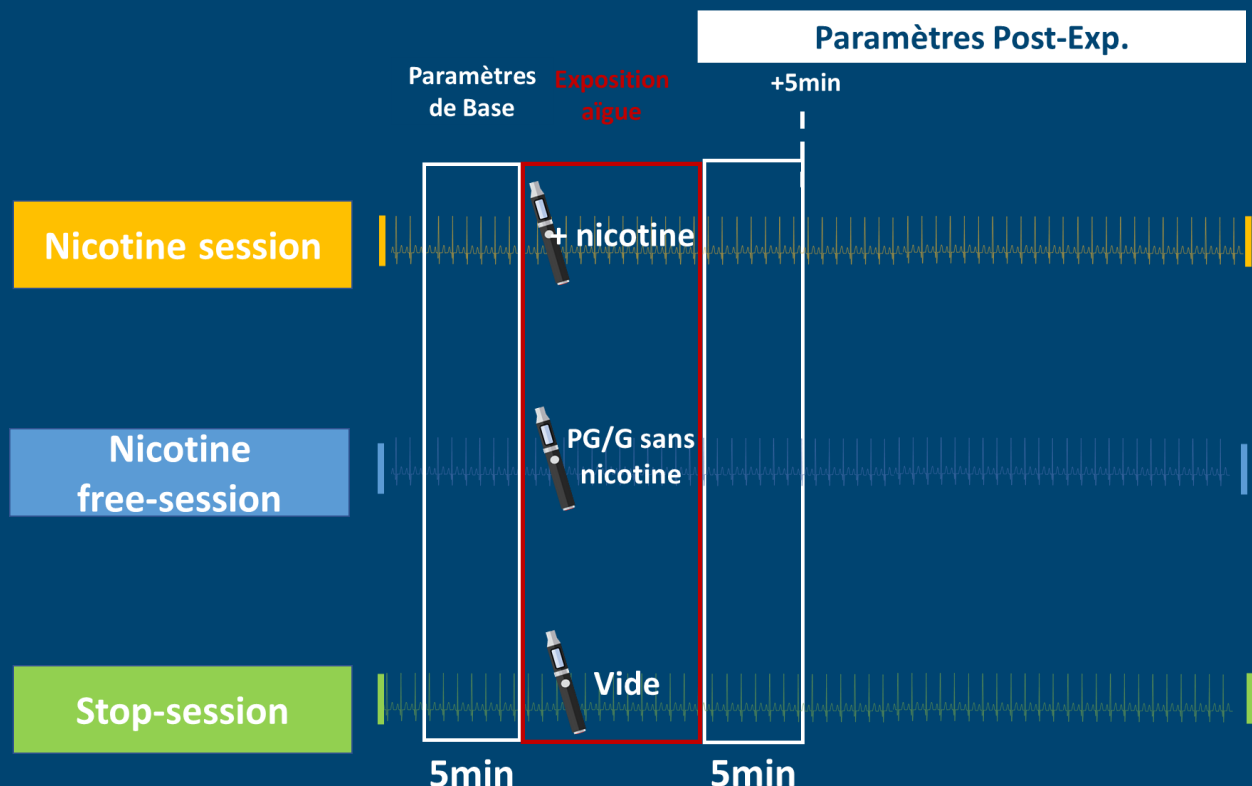
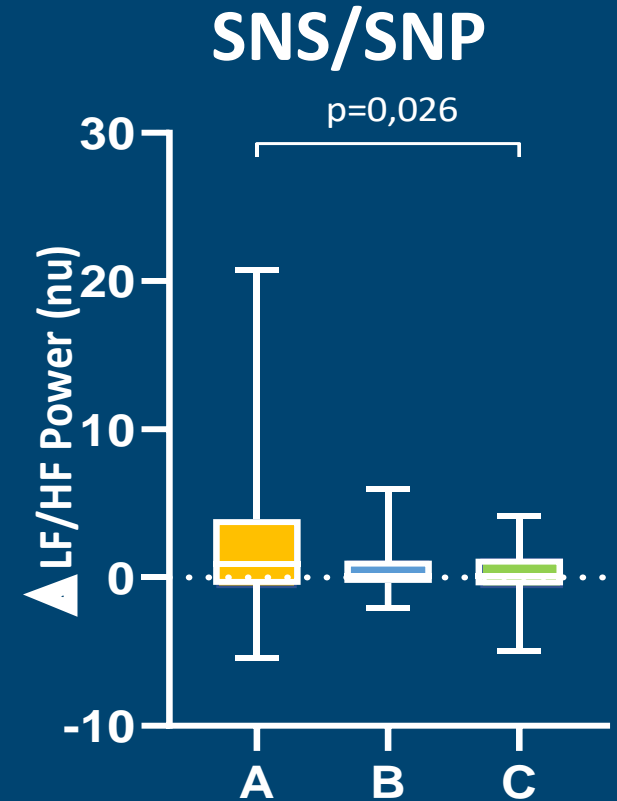
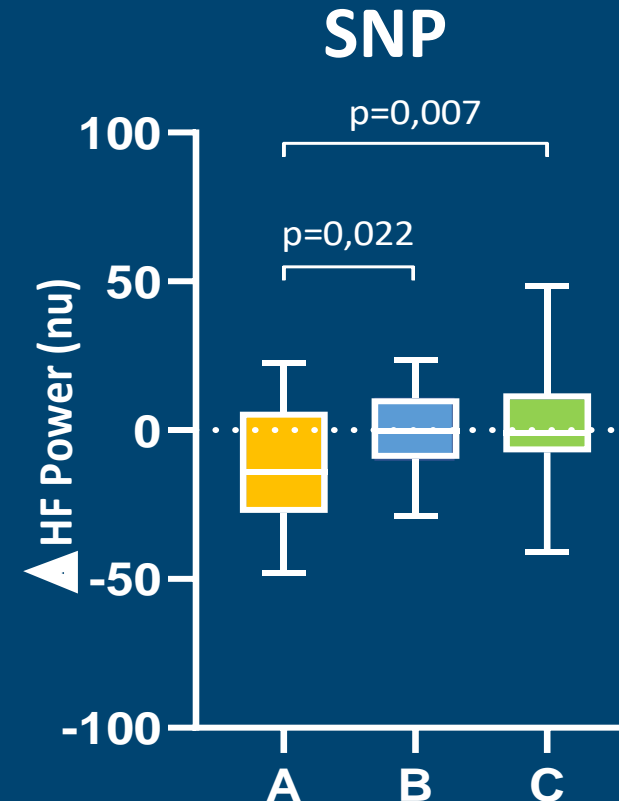
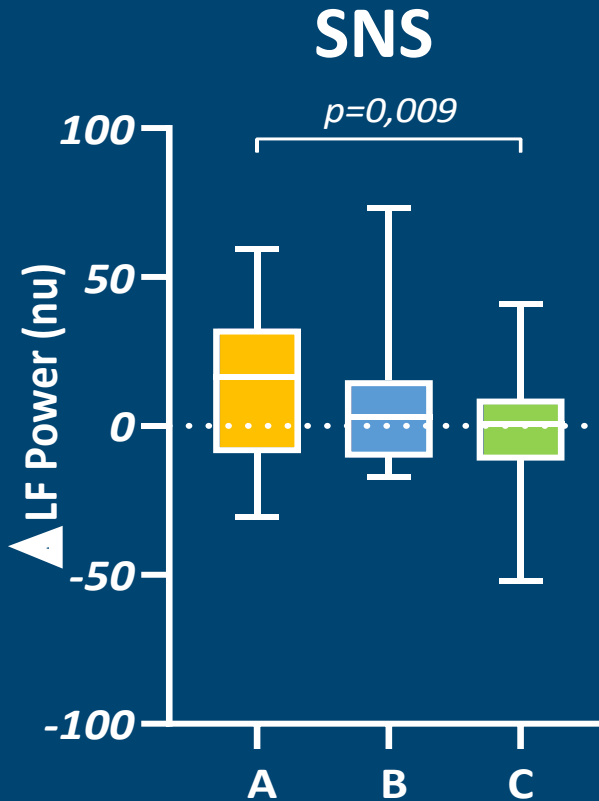


Table 3 – Comparison of the difference (Δ) of acute vaping values with BSL values between sessions.						
HRV parameters	Nicotine session ^A	Nicotine-free session ^B	Stop session ^C	p ^{AvsB}	p ^{AvsC}	p ^{BvsC}
ΔHR (bpm)	5.8 [2.9; 13.5]	-0.6 [-1.9; 1.5]	0.3 [-1.3; 2.1]	0.041	0.002	0.9
$\Delta\text{Total Power}$ (ms ²)	-3517 [-11669 ; 403]	-1224 [-4403 ; 1435]	-207 [-2744 ; 2273]	0.29	0.19	0.16
$\Delta\text{LF Power}$ (nu)	16.3 [-9.1 ; 32.8]	3.1 [-10.6 ; 15.4]	0.8 [-11.7 ; 9.2]	0.18	0.009	0.13
$\Delta\text{HF Power}$ (nu)	-13.9 [-27.7 ; 6.3]	-0.14 [-9.6 ; 10.8]	-0.8 [-7.4 ; 12.4]	0.022	0.007	0.39
$\Delta\text{LF/HF}$ (nu)	0.9 [-0.5 ; 3.9]	0.07 [-0.37 ; 1.15]	0.1 [-0.5 ; 1.3]	0.09	0.026	0.12

HRV, heart rate variability; HR, heart rate; LF, low frequency; HF, high frequency; LF/HF ratio. Data are presented as median [P25-P75] according to data distribution.

Résultats

Méthode: frequency-domain



- Nicotine session
- Nicotine free-session
- Stop session

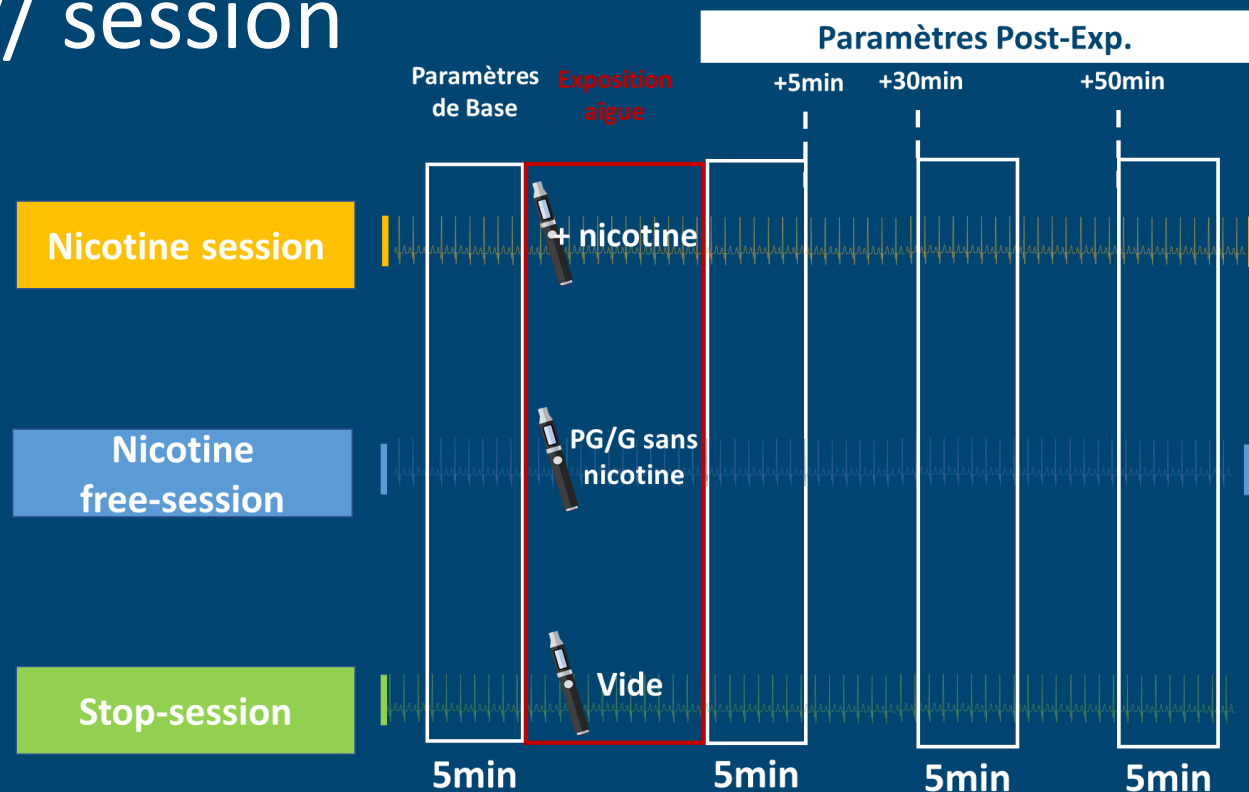
L'exposition aiguë à la nicotine ↑ l'activité du SNS

n=30, test Bonferroni's correction

Résultats

Méthode: domaine fréquentiel

- Étude HRV/ session

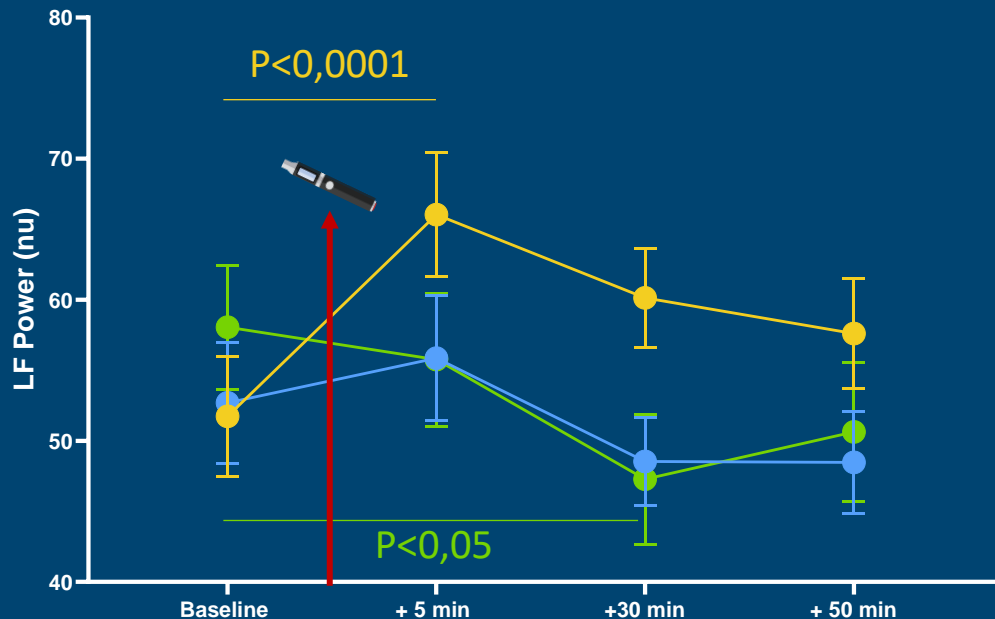


n=30, test Bonferroni's correction

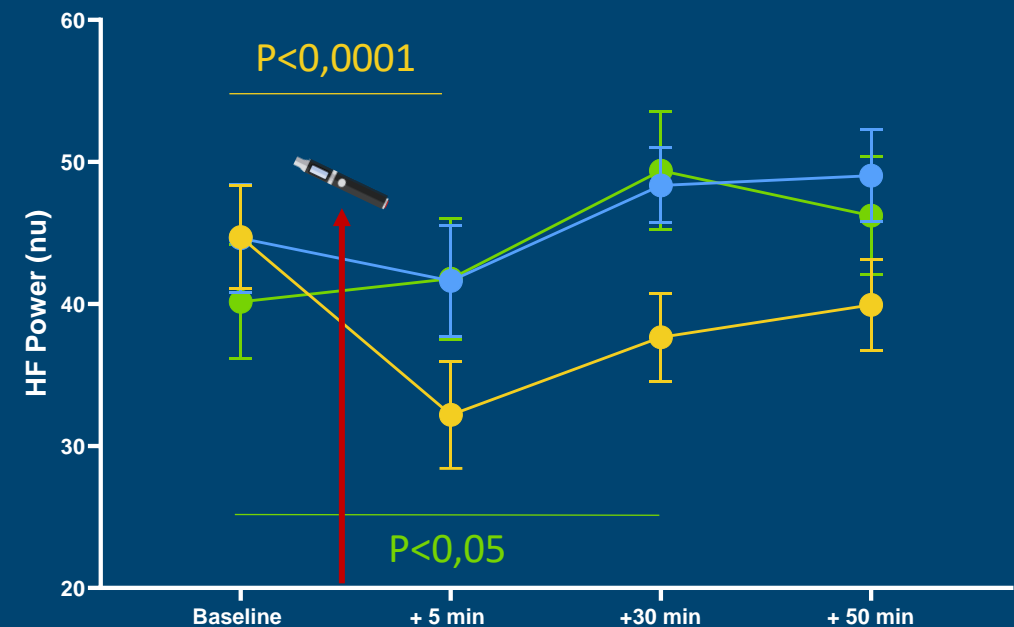
Résultats Principaux

Méthode: frequency-domain

Sympathique



Parasympathique



- Nicotine session
- Nicotine free-session
- Stop session

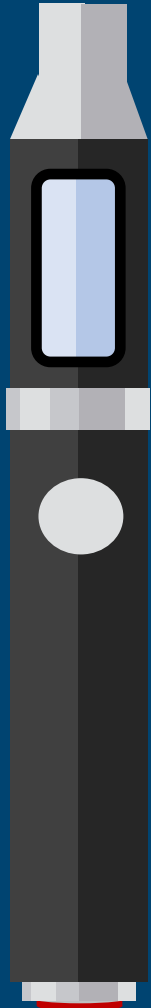
n=30, test Bonferroni's correction

Conclusions & Perspectives



- L'exposition aiguë à la nicotine ↑ l'activité du SNS.
- Prédominance SNS < Nicotine et non des autres composants.
- Arrêt à court terme pas d'impact sur le HRV.

Conclusions & Perspectives



- L'exposition aiguë à la nicotine ↑ l'activité du SNS.
- Prédominance SNS < Nicotine et non des autres composants.
- Arrêt à court terme pas d'impact sur le HRV.

Impact de l'arrêt à long terme /réversibilité de l'effet de la E-cig et sa prédominance sur le SNS ?

Références

- Dia 3 Image from -<https://www.spreadshirt.com/shop/design/hon+lik+vape+godfather+vaping+e-juice+new+hot+mens+t-shirt-D5d89f4942051762642236033?sellable=JkpXG977pYIZGm1Yxw1g-210-7Caponnetto>
Caponnetto P et al., Expert Rev Respir Med. 2012; 6(1):63-74
- Sears et al. Int J Environ Res Public Health. 2017 Oct; 14(10): 1274.; Cigarettes, Toxicology of E-Cigarette Constituents. Washington (DC): National Academies Press (US); 2018.; Rawlinson et al., Journal of chromatography A. 2017;1497:144-54.; Herrington JS, Myers C. Journal of chromatography A. 2015;1418:192-9; Lee MS, et al. , Environ Health. 2017;16(1):42; Williams et al, PloS one. 2017;12(4):e0175430; Ogunwale et al., ACS omega. 2017;2(3):1207-14; Flora. J, Chromatogr Sci. 2017;55(2):142-148; El-Hellani A et al. Nicotine Tob Res. 2018;20(2):215-223. Gillman et al., Regul Toxicol Pharmacol. 2016;75:58-65. Uchiyama et al., Method. Anal Sci. 2016;32(5):549-55. Khlystov et al., Environ Sci Technol. 2016 ;50(23):13080-13085. Goniewicz et al., Tob Control. 2014 ;23(2):133-9.; National Academies of Sciences, Engineering, and Medicine. Public Health Consequences of E-Cigarettes, Nicotine. Washington (DC): National Academies Press (US); 2018.
- Dia 5-7 ChuDuc et al., APCBEE Procedia 2013;7:80-85; Zeger SL et al., Annu Rev Public Health.2006;27:57-79; Rajendra Acharya et al., Med Biol Eng Comput. 2006;44(12):1031-51. Gupta AK et al., Nephron Physiol . 2013;124(3-4):14-27.
- Dia 10 McCratty R and Shaffer F. Glob Adv Health Med. 2015; 4(1): 46–61; Gibbons CH. Handb Clin Neurol. 2019;160:407-418.; Research - Recommendations for Experiment Planning, Data Analysis, and Data Reporting. Front Psychol. 2017 ;8:213. Ernst, Front Public Health. 2017;5:240. Buccelletti et al., Eur Rev Med Pharmacol Sci. 2009;13(4):299-307. Huikuri HV and Stein PK. Prog Cardiovasc Dis 2013; 56 (2): 153-159; Song et al., BMC Cardiovasc Disord. 2014; 14: 59.
- Dia 11 Debbas et al., Sci Rep 2018;8:10378; Chaumont et al., Am J Physiol Lung Cell Mol Physiol. 2020; 318(2): L331–L344.
Chaumont et al., Am J Physiol Lung Cell Mol Physiol. 2019 May 1;316(5):L705-L719.; Chaumont et al. Am J Respir Crit Care Med. 2018 ;198(1):123-126.
- Dia 12 Chaumont et al., Am J Physiol Lung Cell Mol Physiol. 2020; 318(2): L331–L344.
- Dia 13 Heart rate variability. Standards of measurement, physiological interpretation, and clinical use. Eur Heart J. 1996;17(3):354-81.
- Dia 15-16 Järvelin-Pasanen et al., Ind Health. 2018; 56(6): 500–511; Shaffer F et al. Front Public Health. 2017; 5: 258
- Dia 17 Moheimani et al., J Am Heart Assoc 2017; 6:e006579; Moheimani et al., JAMA Cardiol. 2017 ;2(3):278-284; Arastoo et al., Am J Physiol Heart Circ Physiol. 2020 Aug 1;319(2):H262-H270.

CSFT 2020



Merci pour votre attention.

Clothilde@claus.live

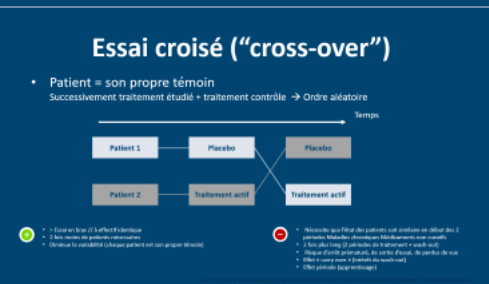
Annexes

Exposition aiguë _ E-cig utilisée



A fourth-generation e-cigarette set at 60 W (Alien 220 box mod, TFV8 baby beast tank and a dual Kanthal coil (VB Baby-Q2 Core; 0.4Ω dual coils); Smoile, Shenzhen, China) with MXJO (Mejotech, Shenzhen, China) mAh 25A variable voltage/variable wattage batteries.

Nicotine session	NICOTINE at a concentration of 1.5 mg/ml. + GLOXIN/GLOXIN was used by the pharmacy of L'Union University Hospital (Liège, Belgium), pharmaceutical grade, Logos, Wemmel, Belgium)
Nicotine free-session	NICOTINE + GLOXIN/GLOXIN was injected by the pharmacy of L'Union University Hospital (Liège, Belgium), pharmaceutical grade, Logos, Wemmel, Belgium)
Stop-session	Shoe-vaping was identical to active vaping but with the e-cigarette turned off.



Méthode Time-domain/ domaine temporel

HRV Paramètres	Unité	Description	Principale Signification
RR	ms	The mean arterial duration of successive RR intervals in ms.	Reflex PNS
SDNN	ms	The mean duration of all successive RR intervals apart from the first one.	Reflect the overall ANS activity
SDNNI	%	The coefficient of variation of SDNN over 5 minutes.	Indicates the total HRV without respiratory influence
RMSSD	ms	The square root of the average of squared differences of successive RR intervals.	Higher values indicate increased PNS activity
HRSD	-	The number of consecutive RR intervals with a difference of more than 50 ms.	Refers to HR variability. Higher values indicate increased PNS activity
SDNNI% ^a	%	(The percentage of RMSSD - Refers to HR variability. Higher values indicate increased PNS activity)	Higher values indicate increased PNS activity

Expl: Variables dérivées directement de la mesure des intervalles R-R:

Méthode frequency-domain/ domaine fréquentiel

- Méthode mathématique permettant de déceler les différentes oscillations d'un rythme

→ USE: étude HRV court terme

4 composantes spectrales

- Hauts fréquences (HF)
- Basses fréquences (LF)
- Très basses fréquences (VLF)
- Ultra basses fréquences (ULF)

Transformation de Fourier

La transformation de Fourier \mathcal{F} est une opération qui transforme une fonction intégrable sur \mathbb{R} , en une autre fonction, décrivant le spectre fréquentiel de cette dernière. Si f est une fonction intégrable sur \mathbb{R} , sa transformée de Fourier est la fonction $\mathcal{F}(f) = \hat{f}$ donnée par la formule :

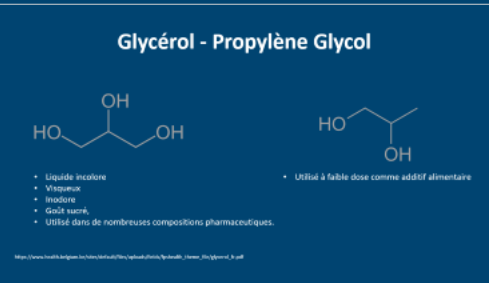
$$\mathcal{F}(f) : \xi \rightarrow \hat{f}(\xi) = \int_{-\infty}^{+\infty} f(x) e^{-i\xi x} dx$$

Variabilité de la fréquence cardiaque (HRV)

Fluctuation du rythme cardiaque au cours du temps entre deux battements consécutifs, et dépend essentiellement de la régulation extrinsèque de la fréquence cardiaque.

- Reflet de l'activité du SNA
- Méthode non invasive / reproductible
- Biomarqueur pour le diagnostic et le suivi évolutif de multiples pathologies chez l'homme
 - ↓ HRV = indice clinique/prédicteur de risque
 - Pathologies cardiovasculaires (maladies coronariennes, Hypertension artérielle,...)
 - Affections métaboliques (obésité, diabète, ILC)

+ Stress
Dépendance (tumeur activité SNS↑ , nouveaux nés exposé à forte dose de nicotine)



Exposition aïgue _ E-cig utilisée



A fourth-generation e-cigarette set at 60 W [Alien 220 box mod, TFV8 baby beast tank and a dual Kanthal coil (V8 Baby-Q2 Core; 0.4Ω dual coils); Smoke, Shenzen, China) with MXJO (Mxjotech, Shenzen, China) mAh 35A variable voltage/variable wattage batteries.

Nicotine session

Nicotine
free-session

Stop-session

NICOTINE at a concentration of 1.5 mg/mL.

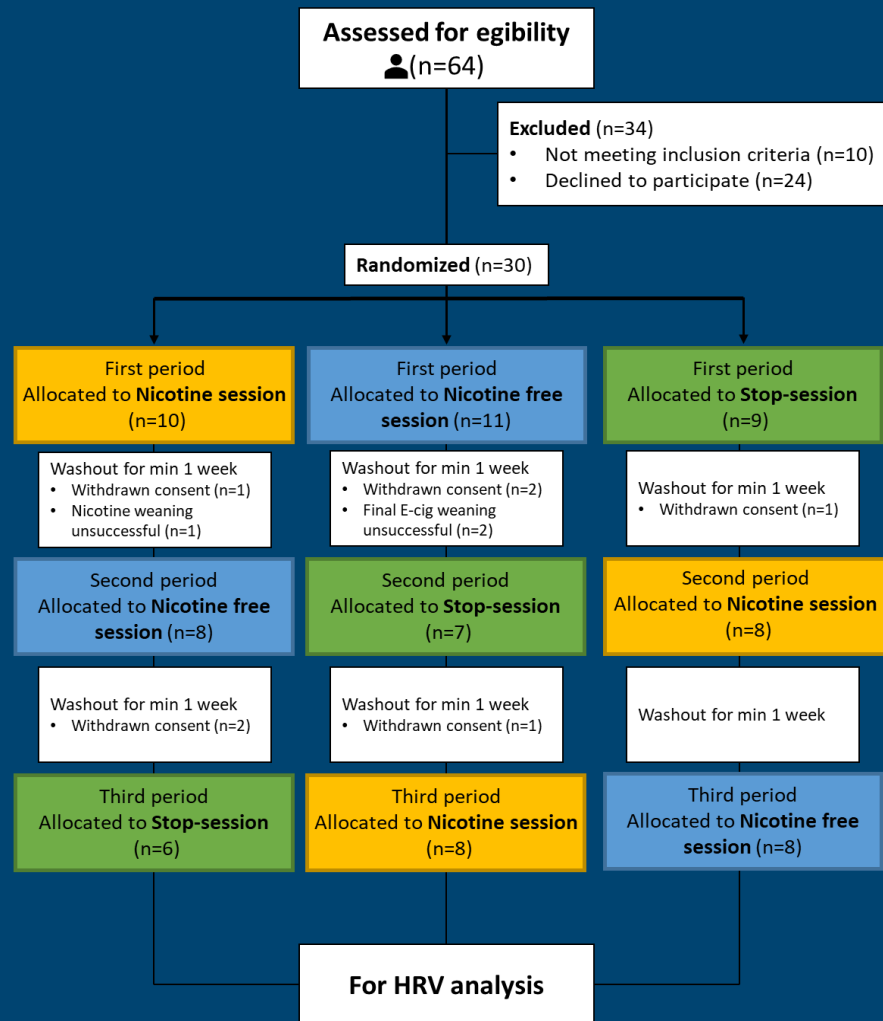
+ **GLYCOL/GLYCEROL** was mixed by the pharmacy at Erasme University Hospital (50:50 vol/vol; pharmaceutical grade; Fagron, Waregem, Belgium)

NICOTINE

+ **GLYCOL/GLYCEROL** was mixed by the pharmacy at Erasme University Hospital (50:50 vol/vol; pharmaceutical grade; Fagron, Waregem, Belgium)

Sham-vaping was identical to active vaping but with the e-cigarette turned off

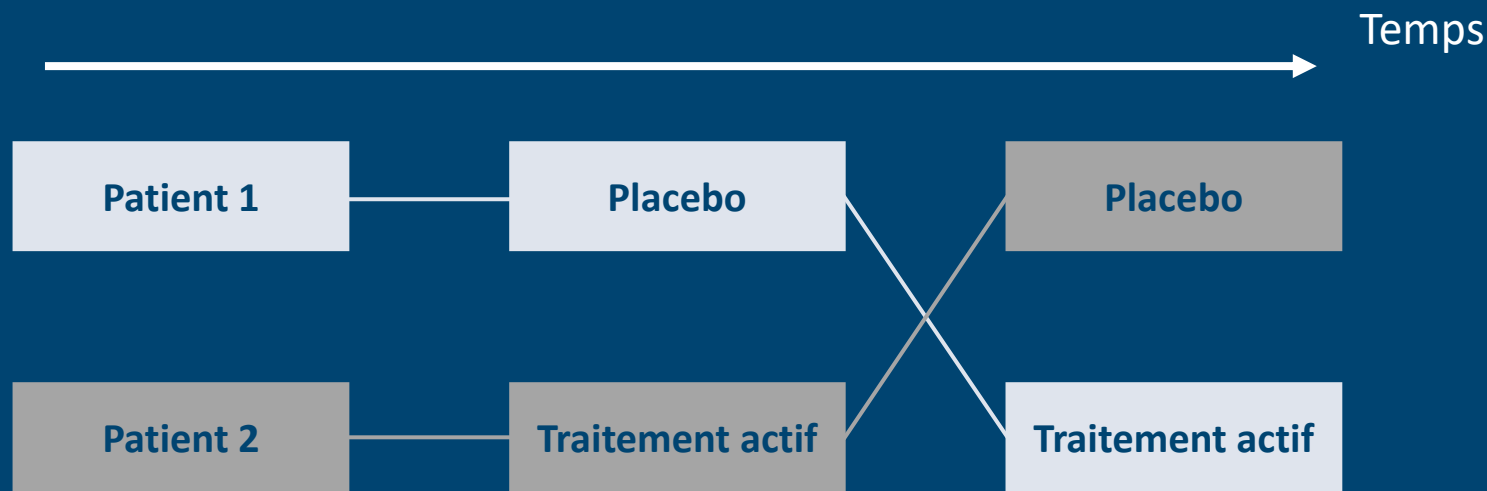
75 sessions étudiées



Essai croisé (“cross-over”)

- Patient = son propre témoin

Successivement traitement étudié + traitement contrôle → Ordre aléatoire



- > Essai en bras // à effectif identique
- 2 fois moins de patients nécessaires
- Diminue la variabilité (chaque patient est son propre témoin)



- Nécessite que l'état des patients soit similaire en début des 2 périodes
- Maladies chroniques
- Médicaments non curatifs
- 2 fois plus long (2 périodes de traitement + wash-out)
- Risque d'arrêt prématué, de sortie d'essai, de perdus de vue
- Effet « carry over » (intérêt du wash-out)
- Effet période (apprentissage)

Méthode Time-domain/ domaine temporel

- Méthode + ancienne
- Déterminer la fréquence cardiaque à tout instant t

→ USE: étude HRV long terme

Expl: Variables dérivées directement de la mesure des intervalles R-R:

HRV Parameters	Units	Description	Physiological Interpretation
RR	ms	The mean interval between two heartbeats (R spikes in ECG).	Reflect PNS
HR	bpm	The mean heart rate.	-
SDRR	ms	The standard deviation of all normal RR intervals is the square root of variance (demonstrates overall HRV).	Reflect the overall ANS activity.
CVRR	%	The coefficient of variance of RR intervals	Indicates the total HRV without respiratory influence.
RMSSD	ms	The square root of the average of squared differences between the successive R-R intervals	Higher values indicate increased PNS activity
RR50	-	The number of consecutive RR interval pairs differ by more than 50 ms in the entire recording	Reflects HF variability. Higher values indicate increased PNS activity.
pRR50	%	The percentage of RR50 divided by the total number of RR intervals	Reflects HF variability. Higher values indicate increased PNS activity.

Méthode frequency-domain/ domaine fréquentiel

- Méthode mathématique permettant de déceler les différentes oscillations d'un rythme

→ USE: étude HRV court terme

4 composantes spectrales

- Hautes fréquences (HF)
- Basses fréquences (LF)
- Très basses fréquences (VLF)
- Ultra basses fréquences (ULF)

Table 1 – Description of frequency-domain parameters used in this work. Based on [122].

HRV Parameters	Units	Description	Physiological Interpretation
Total Power	ms ²	Total variance corresponding to the sum of the four spectral bands, LF, HF, ULF and VLF.	Reflects overall ANS activity.
LF Power	ms ²	Low-frequency power (frequency range 0.04–0.15 Hz)	
LF Power	%	Percentage of LF power, representing the relative power in proportion to the total power: LF power/Total power × 100.	Marker of SNS activity.
LF Power	nu	LF power in normalized units (n.u.), representing the relative power in proportion to the total power minus the power of the VLF component: LF power/ (Total power – VLF power).	
HF Power	ms ²	High-frequency power (frequency range 0.15–0.4 Hz) (synchronous with respiration)	
HF Power	%	Percentage of HF power represent the relative power in proportion to the total power, HF power/Total power ×100%	Marker of PNS activity.
HF Power	nu	HF power in normalized units (n.u.) represent the relative power in proportion to the total power minus the power of the VLF component, HF power/ (Total power – VLF power)	
LF/HF	nu	Ratio of LF-to-HF relative power in normal units	Marker of global SNS and PNS balance.

Transformation de Fourier

La transformation de Fourier \mathcal{F} est une opération qui transforme une **fonction intégrable** sur \mathbb{R} en une autre fonction, décrivant le **spectre fréquentiel** de cette dernière. Si f est une fonction intégrable sur \mathbb{R} , sa transformée de Fourier est la fonction $\mathcal{F}(f) = \hat{f}$ donnée par la formule :

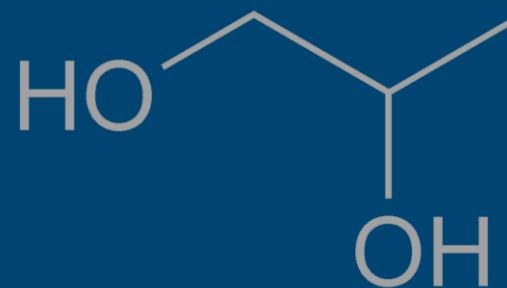
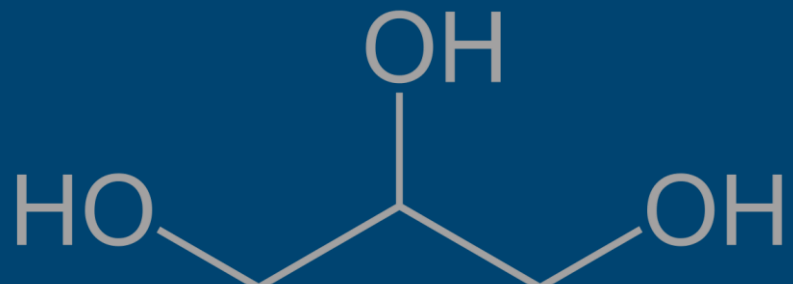
$$\mathcal{F}(f) : \xi \mapsto \hat{f}(\xi) = \int_{-\infty}^{+\infty} f(x) e^{-ix\xi} dx.$$

Variabilité de la fréquence cardiaque (HRV)

Fluctuation du rythme cardiaque au cours du temps entre deux battements consécutifs, et dépend essentiellement de la régulation extrinsèque de la fréquence cardiaque.

- Reflet de l'activité du SNA
 - Méthode non invasive / reproductible
 - **Biomarqueur** pour le diagnostic et le suivi évolutif de multiples pathologies chez l'homme
 - ↓ HRV = indice clinique/prédicteur de risque
 - Pathologies cardiovasculaires (maladies coronariennes, Hypertension artérielle,...)
 - Affections métaboliques (obésité, diabète, IRC)
- + Stress
Dépendance (fumeur activité SNS↑ , nouveaux né exposé à forte dose de nicotine)

Glycérol - Propylène Glycol



- Liquide incolore
- Visqueux
- Inodore
- Goût sucré,
- Utilisé dans de nombreuses compositions pharmaceutiques.

- Utilisé à faible dose comme additif alimentaire

Bonferroni-Holm

Utilisée pour contrer le problème des comparaisons multiples .

Elle est destinée à contrôler le taux d'erreur par famille et offre un test simple uniformément plus puissant que la correction de Bonferroni .

Il porte le nom de Sture Holm , qui a codifié la méthode, et de Carlo Emilio Bonferroni .